

韓國河川의 流砂量算定에 관한 研究(Ⅱ)

—洛東江을 中心으로—

A Study on Sediment Load in River

金 熙 鍾*

Hi-Chong Kim

姜 周 復**

Ju-Bok Kang

申 東 守***

Dong Soo Shin

1. 緒 論

1-1 序 言

韓國河川의 流砂量算定에 관한 研究*에서 河川의 綜合算定은 물론 改修算定에 있어서 正確한 流砂量算定에 관한 重要하다. 이를 위해서는 長期的의 觀測이 必要하며 觀測時마다 測定誤差를 줄이기 위하여 同一觀測에서 數回觀測하여 平均값을 使用하여야 하는 時間的의 誤差가 있다. 특히 流量이 尖頭流量을 中心으로 한 高水時의 流砂量觀測은 年間流砂量推定을 위하여 必要한 것이다. 그 理由로 생각되는 것은 低水時는 掃流力이 작고 高水時는 浮遊砂分布도 不均勻이 되므로 掃流砂量을 左右한다고 생각되는 掃流力도 많은 變化를 가져올것이다. 생각되는 點이다.

1-2 研究範圍 및 目的

本砂定은 洛東江下流 津洞地點, 中流玄風地點, 上流의 新土地點을 採하여 水理諸量, 浮遊砂量 및 掃流砂量을 各各 一定한(80~81)年度에 觀측된 자료와 合하여 綜合分析하여 1年度의 研究報告와 比較檢討하고 또한 改善된 推定法을 採할 수 있는 經驗式을 究함을 目的으로 한다.

2. 浮遊流砂量

2-1. 浮遊流砂量相定理論式의 導出

浮遊流砂量의 一般式 $Q_s = \int_a^b c \cdot v dy$ 에

Bazin의 流深分布式

$$V = V_m + \left[8 - 24 \left(\frac{H-z}{H} \right)^2 \right] \sqrt{HI} \quad \dots \dots (1)$$

여기서 V: 水底에서 z에 있는 點의 流速(m sec)

V_m : 鉛直線上의 平均流速(m, sec)

H: 水深(m)

z: 水路바닥에서 任意의 높이(m)

I: 水面傾斜

Rouse의 浮遊砂 濃度分布式

$$c/c_a = \left[\frac{(H-z)a}{(H-a)z} \right]^{2.5} \quad \dots \dots (2)$$

을 代入하면 다음式과 같다.

$$q_s = \int_a^b c \cdot v dy = \left(\frac{H}{a} \right)^{2.5} \cdot \left(\frac{a}{H} \right)^{2.5} \cdot V_m \cdot \left[8 - 24 \left(\frac{H-z}{H} \right)^2 \right] \sqrt{HI} \quad \dots \dots (3)$$

3式에 $y=0$ 일 때 $H=a$ 라고 하면 4式과 같다.

$$q_s = a \cdot \left(\frac{H}{a} \right)^{2.5} \cdot \left(\frac{a}{H} \right)^{2.5} \cdot (V_m) \cdot \left[8 - 24 \sqrt{HI} \right] \sqrt{HI} \quad \dots \dots (4)$$

$$I_1 \int_0^1 \left(\frac{1-y}{y} \right)^{2.5} dy = I_2 \int_0^1 \left(\frac{1-y}{y} \right)^2 (1-y)^2 dy$$

이키면, $I_1 = I_2 \cdot \alpha \cdot VI$

α는 河床(로)의 높이(浮遊限界點)

α는 浮遊限界點에 대한 補正值이다.

2-2 基準點濃度(c_a)

玄風地點의 基準點濃度는 實測流砂量으로부터 平均粒徑 d_{50} 에 대한 c_a 의 값을 逆算하면 表 1과 같다. 表 1을 兩對數에 플롯트하면 거의 直線이 된다. 따라서 α와 c_a 의 相關式을 求하면 式(5)과 같다.

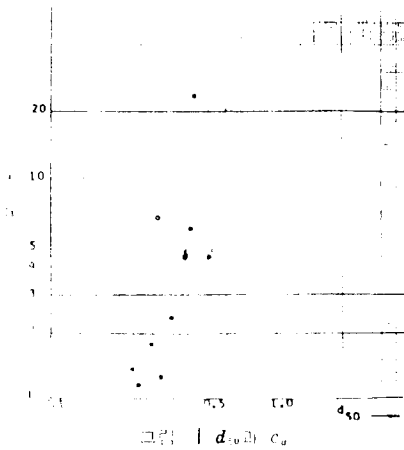
$$c_a = 52.942 c_{50}^{-0.74} \quad \dots \dots (5), \quad r = -0.7$$

上記式을 t-分布에 의하여 檢正하면 0.05에 대하여 有意性이 있다. 이것을 플롯트한 것은 그림 1과 같다.

- 東亞大 教授(工博)
- ** 釜山大 教授
- *** 東亞大 助教

表 1. t_{50} 의 분포

관	1	2	3	4	5	6	7	8	9	10
t_{50} (sec)	0.275	0.275	0.230	0.510	0.340	0.431	0.420	0.420	0.295	0.240
σ (mg/l)	1.86	1.36	4.34	2.36	23.86	5.82	6.78	1.13	4.46	1.22



3. 實測資料

3.1. 水理量

各 測定地點에서의 實測結果는 表 2와 같다

3.2. 浮遊流砂量

浮遊流砂는 採取瓶으로 2點法에 의하여 測定하여 일
적단면 평균부유농도를 구하고 다시 全浮遊流砂의 量
定은 算術平均法이나 流量加重法에 의해 구한 結果는
表 3, 4에 表示하였다.

4-4. 掃流砂量

各 地點의 實測結果에 의한 單位幅當流流砂量은
表 4와 같다.

表 2. 水理量

No.	地	測定日	(m) 水位	(m) B	(m) A	m ³ /sec Q	(m) S	(m) R	(m ³ /sec) I ₀	I	T(C)	
1	津洞1	1980. 1. 17	1.28	136	1588.7	1243.0	242	6.67	0.783	15000	22	
2	津洞2	1980. 1. 27	2.26	127	460.08	92.44	202.7	2.27	0.091	175319	20	
3	玄風3	1980. 9. 28	1.30	190	425.75	151.75	208.5	2.01	0.356	174734	19.8	
4	玄風2	1980. 10. 11	1.65	205	423.25	203.00	230.0	1084	0.480	175230	18	
5	玄風3	1981. 1. 11	1.69	155	147.85	72.87	155.6	0.88	0.193	175025	3	
6	新上1	1980. 12. 28	-0.16	95	90.5	29.54	98	0.92	0.326	15465	5	
7	玄風4	1981. 3. 22	1.52	155	106.45	50.44	166.1	0.65	0.465	4484	13.5	
8	◇ 5		5.3	1.42	168	171.95	68.61	288.1	0.75	0.400	2817	22
9	◇ 6		6.14	1.98	190	194.56	106.54	1910	1.02	0.547	4505	24.5
10	◇ 7		7.29	2.35	200	242.38	96.64	200.7	1.21	0.400	4367	30.5
11	津洞3		7.29	2.37	218	799.76	133.08	218.6	363	0.170	9222	31
12	龜尾		10.3	1.22	280	546.13	99.17	278.6	1.96	0.182	4830	18
13	玄風8		10.4	2.25	200	347.50	140.72	196.1	1.77	0.405	4386	19
14	津洞4		10.4	2.77	140	2380.25	64.27	194.5	12.12	0.027	8000	20.5
15	◇ 5	1982. 3. 7	1.84	140	152.50	86.27	139.9	1.09	0.566	4274	8	
16	新上2		4.11	—	130	55.95	21.05	125.3	0.45	0.376	2040	10
17	玄風		4.12	1.01	105	88.55	35.23	105.2	0.84	0.398	5263	16
18	津洞6		4.12	1.80	126	1931.00	96.55	145.2	13.30	0.050	723	18
19	新上3		4.18	—	124	28.72	12.15	120.0	0.24	0.423	2062	12
20	玄風10		4.18	0.87	118	68.00	20.01	90.2	0.75	0.294	5236	20
21	津洞7		4.19	1.36	124	106.45	37.78	120.1	6.89	0.355	7246	20.5

A 3.

各地點の浮遊砂量 0.1 kg sec

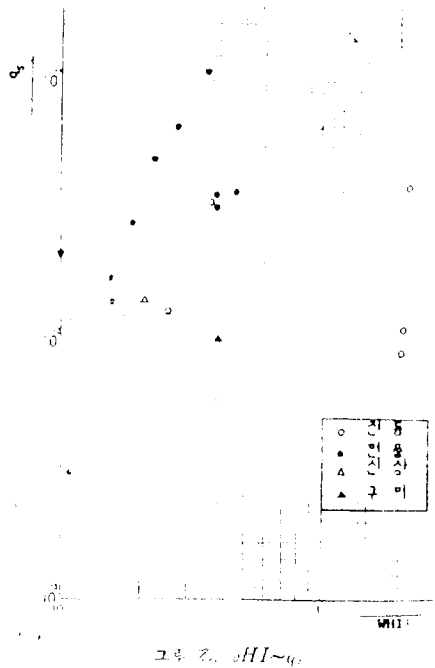
No.	地點	流量 m^3/sec	全砂平均濃度	浮遊砂量	川 名
1	津洞 1	1243.9	0.260	323.41	
2	〃 2	92.4	0.053	4.90	
3	玄風 1	151.5	0.046	6.97	
4	〃 2	203.0	0.036	7.31	
5	〃 3	72.8	0.059	4.30	
6	新上 1	29.5	0.039	1.15	
7	玄風 4	50.4	0.044	2.22	
8	〃 5	68.6	0.260	17.84	
9	〃 6	106.5	0.088	9.37	
10	〃 7	96.9	0.135	13.08	
11	津洞 3	133.1	0.055	7.32	
12	龜尾	99.2	0.027	2.68	
13	玄風 8	140.7	0.046	6.47	
14	津洞 4	64.3	0.023	1.48	
15	〃 5	86.3	0.022	1.90	
16	新上 2	21.1	0.085	1.79	
17	玄風 9	35.2	0.050	1.76	
18	津洞 6	95.8	0.012	1.16	
19	新上 3	12.2	0.122	1.49	
20	玄風 10	20.2	0.017	0.34	
21	津洞 7	37.8	0.028	1.06	

表-5 ωHI の浮遊砂量

No.	地點	實測浮遊砂量 $\text{kg}/\text{sec}/\text{m}$	ω kg/m^3	H (m)	I	ωHI
1	津洞 1	2.40	998	11.34	2.0×10^{-4}	2.26
2	〃 2	0.039	998	11.49	1.83×10^{-4}	2.16
3	玄風 1	0.037	999	2.24	2.11×10^{-4}	0.47
4	〃 2	0.036	999	2.06	1.91×10^{-4}	0.39
5	〃 3	0.028	1000	0.954	1.99×10^{-4}	0.19
6	新上 1	0.012	1000	0.95	1.78×10^{-4}	0.17
7	玄風 4	0.014	999	0.70	2.23×10^{-4}	0.16
8	〃 5	0.106	998	1.02	3.55×10^{-4}	0.36
9	〃 6	0.049	997	1.02	2.22×10^{-4}	0.23
10	〃 7	0.065	996	1.21	2.29×10^{-4}	0.28
11	津洞 3	0.034	996	3.64	1.08×10^{-4}	0.39
12	龜尾	0.010	998	1.95	2.07×10^{-4}	0.40
13	玄風 8	0.032	998	1.74	2.29×10^{-4}	0.40
14	津洞 4	0.011	998	17.0	1.25×10^{-4}	2.12
15	津洞 5	0.013	1000	1.09	2.34×10^{-4}	0.26
16	新上 2	0.014	1000	0.43	4.90×10^{-4}	0.21
17	玄風 9	0.017	999	0.84	1.90×10^{-4}	0.16
18	津洞 6	0.009	998	15.33	1.38×10^{-4}	2.11
19	新上 3	0.012	1000	0.23	4.85×10^{-4}	0.11
20	玄風 10	0.003	998	0.58	1.91×10^{-4}	0.11
21	津洞 7	0.009	998	0.86	1.38×10^{-4}	0.12

表 4. 各 地 點 の 總 掃 流 砂 量

No.	地點	河幅	單位幅常平均掃流砂 $\text{kg sec}/\text{m}$			掃 流 砂 kg/sec			川 名
			面積平均	流量加重	水深加重	算術平均	流量加重	水深加重	
1	津洞 1	110	1.52×10^{-3}	8.77×10^{-3}	6.38×10^{-3}	0.2688	0.1228	0.0893	
2	〃 2	127	1.1×10^{-4}	3.68×10^{-3}	0.0306	0.0017	0.0070	0.0070	
3	玄風 1	166	9.1×10^{-4}	7.08×10^{-3}	3.03×10^{-3}	0.1906	0.1493	0.0576	
4	〃 2	295	1.17×10^{-3}	1.31×10^{-3}	7.32×10^{-3}	2.1165	2.6555	1.5006	
5	〃 3	153	1.1×10^{-3}	8.19×10^{-3}	4.57×10^{-3}	1.1796	1.3150	0.7084	
6	新上 1	95	1.1×10^{-3}	6.36×10^{-3}	1.21×10^{-3}	0.1482	0.0604	0.1150	
7	玄風 4	155	1.1×10^{-3}	5.29×10^{-3}	1.95×10^{-3}	1.3160	0.8200	0.3023	
8	〃 5	168	1.2×10^{-3}	3.40×10^{-3}	1.15×10^{-3}	1.0517	0.5712	1.9320	
9	〃 6	130	1.0×10^{-3}	1.47×10^{-3}	3.43×10^{-3}	1.0758	0.8493	0.6517	
10	〃 7	200	5.55×10^{-3}	2.26×10^{-3}	6.40×10^{-3}	1.1106	6.4520	102800	
11	津洞 3	218	596×10^{-3}	1.38×10^{-3}	3.81×10^{-3}	1.2993	6.3008	0.8306	
12	龜尾	280							
13	玄風 8	200	2.89×10^{-4}	1.23×10^{-4}	429×10^{-3}	0.078	0.0246	0.858	
14	津洞 4	140							
15	津洞 5	140	3.40×10^{-4}	2.70×10^{-4}	2.56×10^{-3}	0.0476	0.0378	0.3584	
16	新上 2	130	3.75×10^{-4}	2.93×10^{-4}	6.56×10^{-3}	0.0488	0.0381	0.8528	
17	玄風 9	105	4.99×10^{-4}	3.91×10^{-4}	2.30×10^{-3}	0.0524	0.0411	0.2415	
18	津洞 6	126	6.57×10^{-4}	4.82×10^{-4}	7.91×10^{-3}	0.0828	0.0607	0.9967	
19	新上 3	124	4.18×10^{-4}	3.73×10^{-4}	5.25×10^{-3}	0.0518	0.0463	0.6510	
20	玄風 10	118	5.64×10^{-4}	5.55×10^{-4}	9.54×10^{-4}	0.0666	0.0655	0.1126	
21	津洞 7	124	1.53×10^{-4}	1.42×10^{-4}	8.09×10^{-4}	0.0196	0.0176	0.1003	



4. 考 察

4-1 浮遊砂에 대한 考察

4-1-1 ωHI와 浮遊砂量

各測定地點의 參考文獻⁶⁾ 및 (81~82)年資料에 의하
여 整理하면 表-5의 같다.

表-5의 ω, ω₀의 單位體積當平均(kg/m³)

H: 平均水深(m)

I: 水面傾斜이다.

表-5의 값을 兩對數用紙에 描寫하면 그림 2과 같다.
津洞地點과 新上地點은 相關回歸直線의 傾斜가 同一하
며 玄風地點은 前記地點과는 다르게 急한 傾斜로 나타
내고 있으므로 地點마다 ωHI~q의 相關式을 求解하
야 한다. 津洞⁶⁾, 津洞⁶⁾의 觀測值와 玄風, 玄風²⁾, 玄風⁴⁾
의 觀測值를 各々檢정 처리하여 最小자승법으로 해석
하여 各地點의 ωHI~q의 相關式을 求한 結果는 다
같다. 그러나 新上, 津洞地點은 實測值가 尙만
하며 그 數도 적어 以上의 決定이 약간 無理할 것도
같으나 尙으로 더욱 많은 實測을 行하여 이들 補正코
지 된다. 따라서 어느정도 그 相關性이 認定되는 地點
은 相關係數 $r=0.91$ 인 玄風地點이다.

津洞地點, $q_s = 0.108(\omega HI)^{1.294}$, $r=0.8$

玄風地點, $q_s = 0.049(\omega HI)^{2.994}$, $r=0.9$

新上地點, $q_s = 0.018(\omega HI)^{0.203}$, $r=0.8$

4-2 流量과 浮遊砂量의 相關

表 3을 이용하면 流量과 浮遊砂量의 相關圖는
그림 3과 같다. 그림 3를 最小자승법으로 해석하면 아
래와 같은 相關式을 얻을 수 있다.

$$Q_s = 0.022Q^{0.799}$$

(Q: 流量(m³/sec))

(Q_s: 浮遊砂量(kg/sec))

r=0.8

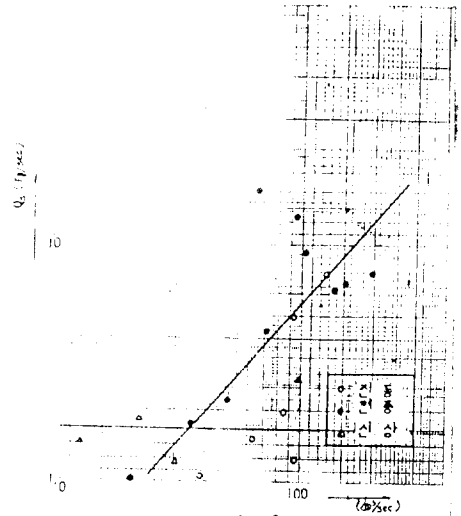


表 3의 값을 兩對數用紙에 描寫하면 그림 3과 같다.
圖 3의 關係式은 $Q_s = 0.022(Q)^{0.799}$ 의 相
關式이다. 이 關係式은 玄風, 津洞, 新上 範圍內에서는 尙 適合
하지만 玄風, 津洞, 新上 範圍外에서는 尙 適合
하지 않는다. 이 關係式을 再檢證할 때
다음과 같은 式을 得었다.

4-3 總流砂에 대한 考察

4-3-1 總流砂와 浮遊砂의 關係

掃流砂量을 測定한 津洞, 玄風, 新上 地點의 實測值
이하 하면 $q_s = 0.018(\omega HI)^{0.203}$ 의 關係式을
用하여 q_s 를 算出하면 $q_s = 0.018(\omega HI)^{0.203}$ 의 關係式을
表-6과 같다. 이 關係式은 그림 4와 같다.
이로부터

$$q_{bx} = 0.83 \omega x^2$$

4-3 總流砂에 대한 考察

4-3-1 總流砂量과 浮遊砂量의 對比

實測한 浮遊砂量과 掃流砂量을 合한 總流砂量 中에
浮遊砂量의 百分率은 表-7의 같다. 이는 T.E.Steven⁷⁾
의 研究한 結果에서와 比較結果와 거의 一致함을 나타
내고 있다.

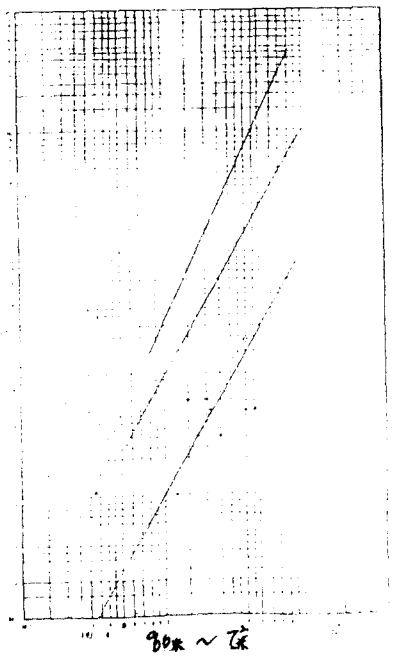


表 7 總流砂量과 浮遊砂量

No	地點	浮遊砂量 (kg/sec)	總流砂量 (kg/sec)	總流砂量에 대한 浮遊砂量의 比較 比
1	津洞 1	323.41	323.50	99.9
2	◇ 2	4.91	4.92	99.8
3	玄風 3	6.97	7.03	99.1
4	◇ 4	7.31	8.81	83.0
5	◇ 5	4.30	5.01	85.8
6	新上 6	1.15	1.21	90.6
7	玄風 7	2.22	2.52	88.1
8	◇ 8	17.84	19.77	90.2
10	◇ 6	9.37	10.02	93.5
11	◇ 6	13.08	14.36	91.1
12	津洞 1	7.32	8.15	89.8
10	龜尾	2.68	—	—
13	玄風 8	6.17	7.33	83.3
11	津洞 4	1.48	—	—
14	◇ 5	1.90	2.26	84.1
16	新上 2	1.79	2.61	67.8
17	玄風 9	1.77	2.00	88.0
18	津洞 9	1.16	2.26	51.3
19	新上 3	1.49	2.11	69.6
20	玄風 10	0.34	0.45	75.6
21	津洞 7	1.06	1.16	91.4
平均				85.6

表-6 $T^2 \sim q_{*2}$

No	T^2	$q_{*2} \cdot 10^{-4}$	비 고
1	15.3	46.27	
2	14.3	4.14	
3	0.83	47.96	
4	0.76	1636.04	
5	0.04	698.62	
6	0.02	140.01	
7	0.058	458.85	
8	0.194	1461.28	
9	0.078	543.16	
10	0.17	1438.76	
11	0.21	506.51	
12	0.86	991.45	
13	—	—	
14	—	—	
15	0.18	503.39	
16	0.02	590.48	
17	0.049	498.28	
18	16.48	657.84	
19	0.006	711.29	
20	0.036	307.76	
21	0.068	343.86	

4.3.2. 各地點의 總流砂量의 實測値와 計算値의 比較
各測定地點의 總流砂量의 實測値와 EINSTEIN, L VANE-KAUNSK의 計算値는 아래 表 8과 같다.

表 10을 利用하여 繪示되하여 보면 그림 5와 같다.
그림 5에서 實測資料의 分布狀態를 最小자승법으로 求
得하면 다음과 같은 식을 얻을 수 있다.

$$Q_T = 1.336 \cdot 10^{-3} Q^{0.14}, T = 0.84$$

그림 5에서 實測値의 分布는 L-Kalinske, Einstein
公式에 의한 各分布의 中央에 比較적 位置하고 있으며
L-Kalinske分布는 81年度 研究結果⁶⁾ 보다 大部分 間
값들을 주고 있다 따라서 公式에 의하여 推定할 때에
는 兩公式에서 各各을 구하고 이의 平均값을 택하는
것이 實測値에 近似한 값을 얻을 수 있는 것으로 사료
된다.

表 8 各測定地點의 總流砂量

Q_T (m³/sec)

No.	地 點	No.	Q (m ³ -sec)	Q_T 實測流砂量	Q_T 公式의 計算值	
					Einstein	L-kalinske
1	著 興	1	1243.0	1.22×10^{-3}	6.67×10^{-3}	1.15×10^{-3}
2	中 興	2	92.44	1.85×10^{-3}	1.41×10^{-3}	1.41×10^{-3}
3	中 興	3	151.75	2.65×10^{-3}	2.24×10^{-3}	1.16×10^{-3}
4	中 興	4	203.06	3.32×10^{-3}	1.31×10^{-3}	1.31×10^{-3}
5	中 興	5	72.87	1.89×10^{-3}	3.16×10^{-3}	2.71×10^{-3}
6	中 興	6	29.54	4.77×10^{-3}	9.70×10^{-3}	8.95×10^{-3}
7	玄 風	7	50.44	9.51×10^{-3}	2.83×10^{-3}	2.17×10^{-3}
8	玄 風	8	68.61	7.46×10^{-3}	2.99×10^{-3}	5.76×10^{-3}
9	玄 風	9	106.51	3.78×10^{-3}	1.78×10^{-3}	5.91×10^{-3}
10	玄 風	10	96.94	5.42×10^{-3}	5.23×10^{-3}	4.61×10^{-3}
11	津 洞	11	133.95	3.93×10^{-3}		
12	津 洞	12	79.1			
13	玄 風	13	149.72	2.77×10^{-3}	1.18×10^{-3}	7.92×10^{-3}
14	津 洞	14	64.27			
15	新 上	15	86.27	8.53×10^{-3}	1.32×10^{-3}	3.99×10^{-3}
16	新 上	16	31.05	9.97×10^{-3}	1.46×10^{-3}	1.46×10^{-3}
17	玄 風	17	35.23	7.55×10^{-3}	1.48×10^{-3}	1.32×10^{-3}
18	津 洞	18	96.55	8.14×10^{-3}		3.56×10^{-3}
19	新 上	19	12.15	8.08×10^{-3}	5.60×10^{-3}	1.71×10^{-3}
20	玄 風	20	20.01	1.71×10^{-3}	2.12×10^{-3}	7.67×10^{-3}
21	津 洞	21	37.78	4.38×10^{-3}	2.39×10^{-3}	1.09×10^{-3}

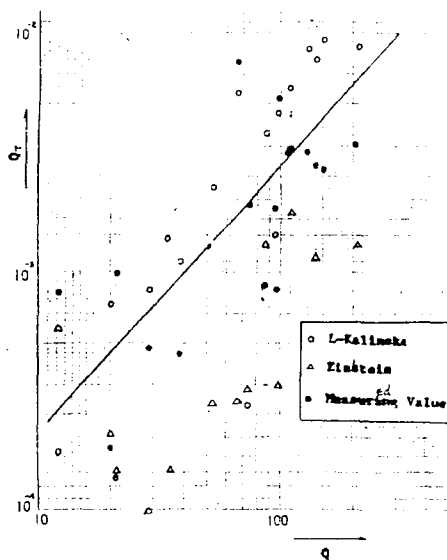


그림 5 $Q \sim Q_T$

5. 結 論

本 研究は 高水流量時 設備未備으로 測定이 不可能 하여 低水流量時 測定에 關係하였을것 一 尙으로 생각한다. 이의 結果에 의하면 測定結果가 正確하다. 같다.

1) 이 浮遊砂 測定法이 代表하는 $\omega H I$ 의 浮遊砂量 點의 相關關係를 測定한 結果 津洞, 玄風, 新上 地點은 $\omega H I$ 에 相關性이 弱하지만 玄風地點은 그 相關性이 甚한 것으로 생각된다.

2) 流量과 浮遊砂量의 相關式을 報告의 $Q_T = 0.02 \cdot Q^{1.726}$ 이 成立함이 再確認되었다.

3) 浮遊砂量의 半理論公式는 浮遊限界點의 濃度(ω)의 값의 推定法이 問題點이나 여기에서 代表粒徑(d_{50})에 의하여 주어졌으며 ω 의 값은 0.05日로 하는 것이 타당할 것으로 생각된다.

4) 著者가 提案하는 浮遊砂의 算定半理論式, $\omega H I \sim q_s$ ($Q \sim Q_T$)의 關係에 對하여 比較的 正 當한 것으로 생각된다. Lane, Kalinske 公式, Einstein 公式 등에 의하여 浮遊砂의 推定法과 經驗式($\omega H I \sim P_s$)은 半理論式의 實用적 價値가 尙 尙 不明하다.

5) 浮遊砂의 算定公式는 低水流量에의 Brown, Einstein, Kalinske 公式, 高水 流量에의 Brown 公式가 正當한 算定法으로 생각된다. 浮遊砂量이 包含된 算定式의 實用적 價値가 尙 尙 不明하다.

6) 浮遊砂의 算定法은 浮遊砂量을 測定한 結果에 의하여 算定法을 算定할 수 있다.

觀測이 간단한 浮遊砂量의 測定으로가 總流砂量을 推定할 수 있을 것이다.